

## Koroid Osteomlu Bir Olgu

Metin ÜNAL<sup>1</sup>, Mehmet Yasin TEKE<sup>1</sup>, İbrahim TAŞKINTUNA<sup>1</sup>, Esin FIRAT<sup>2</sup>

### ÖZET

**Amaç:** Koroid osteomlu bir olguyu sunmak

**Olgu Sunumu:** Her iki gözde görme azlığı yakınması olan 30 yaşında, sağlıklı bayan hastanın görme keskinliği sağ gözde 3/10, sol gözde 10/200 saptandı. Her iki göz ön segment bulguları doğaldı. Fundus incelemesinde bilateral juxtapapiller yerleşimli makülaya uzanan sarı-beyaz lezyonlar görüldü. Fundus flöresein angiografide erken ve geç dönemde hiperflöresans izlendi. Koroid neovaskülarizasyonu görülmeli. Ultrasonografide arkasında akustik gölgelenmesi olan hiperechoik koroidal kitle saptandı. Bilgisayarlı tomografide, bilateral koroid düzeyinde kemik dansitede radioopak plak görüldü.

**Tartışma:** Koroid osteomu klinik görünümü ve görüntüleme bulgularıyla diğer oküler tümörlerden ayrılır. Görme prognozu değişkendir. Hastaların yaklaşık 1/3'ünde gelişen koroid neovaskülarizasyonuna(CNV) yönelik tedavi dışında koroid osteomuna spesifik tadavi seçeneği bulunmamaktadır. Hastalar tümörün genişlemesi ve özellikle CNV gelişimi açısından izlenmelidir.

**ANAHTAR KELİMELER :** koroid osteomu, oküler tümörler

### A CASE WITH CHOROIDAL OSTEOMA

### SUMMARY

**Purpose:** To report a case with choroidal osteoma

**Case report:** We report a 30-year-old woman who sought medical help for blurred vision in both eyes. Her medical history was unremarkable. Visual acuities were 3/10 in the right eye and 20/200 in the left eye. Anterior segment examination of both eyes was in normal limits. Fundus examination of both eyes revealed yellow-white juxtapapillary lesions extending over the macula. Fundus fluorescein angiography showed early and late hyperfluorescence. There was no choroidal neovascularization. Ultrasonography showed hyperechoic choroidal mass that has acoustic shadowing bilaterally. Computerized tomography yielded radioopaque plaque of bone density bilaterally.

**Discussion:** Choroidal osteoma is distinguished from other ocular tumors by clinical appearance and imaging of the lesion. Prognosis of the vision is variable. There is no therapeutic modality specifically except for choroidal neovascularization which develops in 1/3 of eyes with choroidal osteoma. Patients must be followed for enlargement of the tumor and for especially choroidal neovascularization development. **Ret-vit 2001; Özel Sayı : 1 - 4.**

**KEY WORDS :** Choroidal osteoma, ocular tumors

1. Uzm. Dr., SSK Ulucanlar Göz Hst. Merk. ve Göz Bankası

2. Doç. Dr., SSK Ulucanlar Göz Hst. Merk. ve Göz Bankası

## GİRİŞ

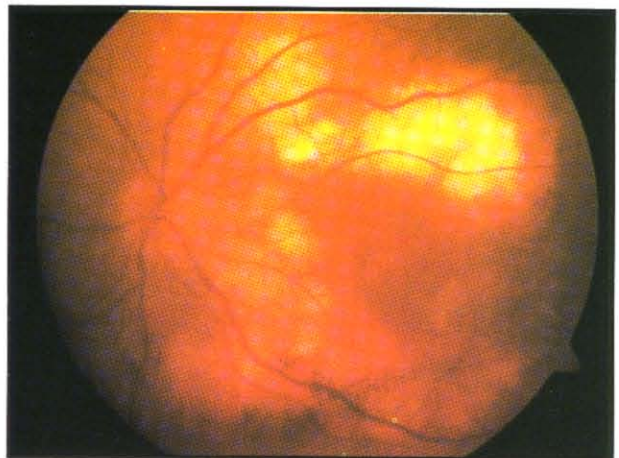
Koroid osteomu nadir görülen koroidin benin osseöz tümöründür. İlk kez 1975'de Van Dyk ve arkadaşları tarafından sunulmuştur<sup>1</sup>. 1978'de Gass 'koroid osteomu' tanımını kullanmıştır<sup>2</sup>. Tipik olarak 2. ve 3. dekadda sağılıklı kadınlarda görülür. Etyolojisi belli değildir<sup>3</sup>.

## OLGU SUNUMU

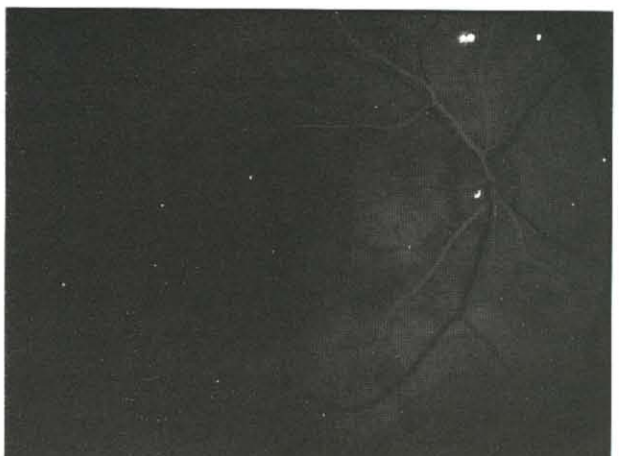
30 yaşında bayan hasta, kliniğimize her iki görmede azalma yakınmasıyla refere edildi. Özgeçmişinde ve soygeçmişinde özellik yoktu. Travma öyküsü yoktu.

Görmeleri sağda 3/10, solda 10/200 düzeyinde saptandı. Her iki göz ön segment bulguları doğaldı. Fundus incelemesinde her iki gözde juxtapapiller yerleşimli, vasküler arkad boyunca makülaya uzanan, sınırları silik, sarı-beyaz lezyonlar izlendi (Resim 1a-b) Hastanın rutin laboratuar testleri, Ca ve P düzeyleri dahil normaldi.

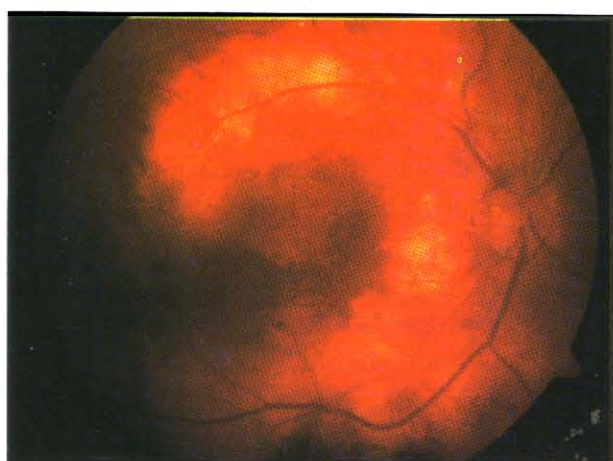
Fundus flöresein anjiografisinde (FFA) erken dönemde başlayan, geç dönemde boyama tarzında devam eden hiperflöresans izlendi (Resim 2a-b-c-d). Koroid neovaskülarizasyonu



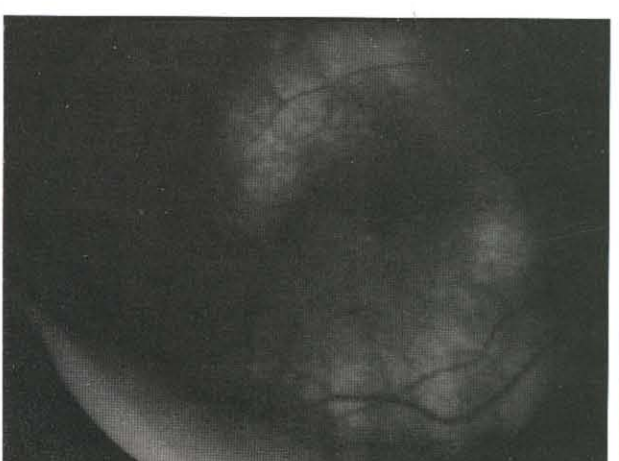
**Şekil 1b.**  
Sol göz fundus görünümü



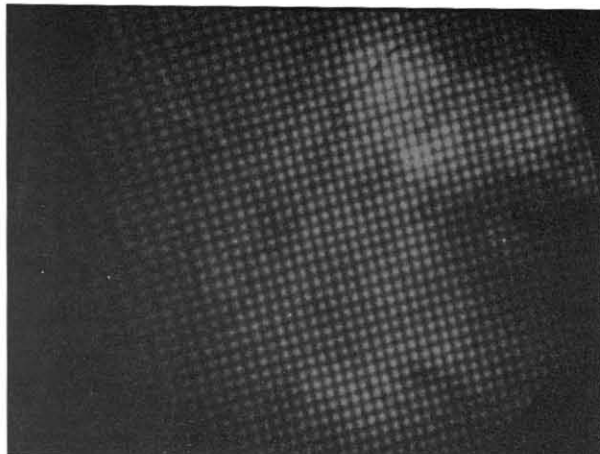
**Şekil 2a.**  
Sağ göz FFA erken dönem



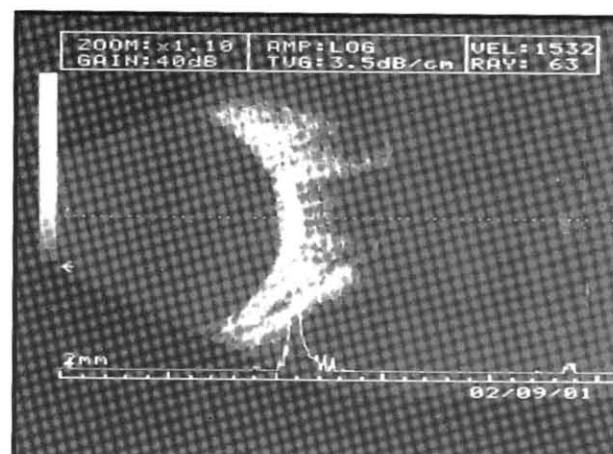
**Şekil 1a.**  
Sağ göz fundus görünümü



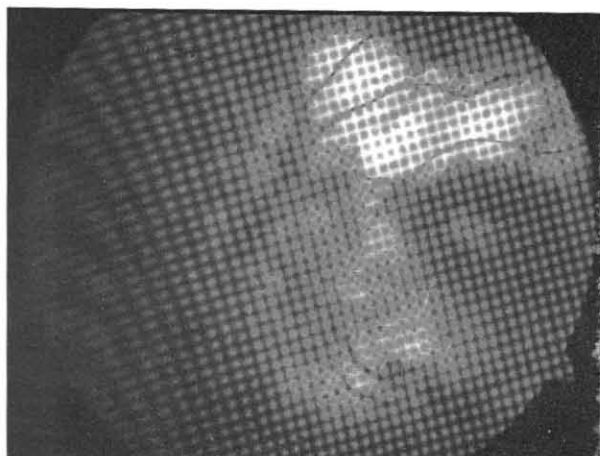
**Şekil 2b.**  
Sağ göz FFA geç dönem



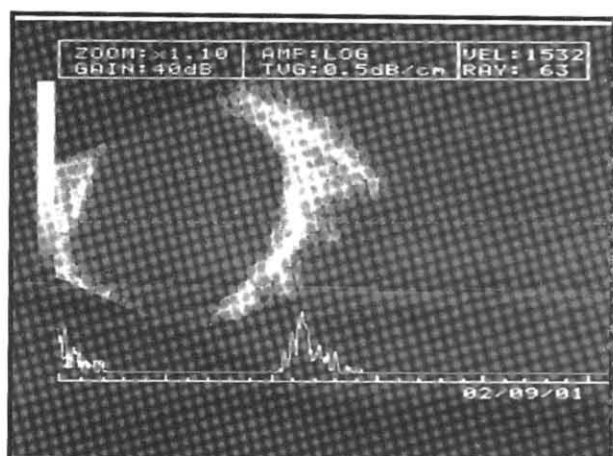
**Şekil 2c.**  
Sol göz FFA erken dönem



**Şekil 3a.**  
Sağ göz USG görünümü



**Şekil 2d.**  
Sol göz FFA geç dönem



**Şekil 3b.**  
Sol göz USG görünümü

(CNV) görülmeli. Ultrasonografide (USG) arkasında akustik gölgelenmesi olan, hiperekoik koroidal kitle izlendi (Resim 3a-b). Bilgisayarlı tomografide (BT) her iki gözde koroid düzeyinde kemik dansitede radyoopak plak saptandı (Resim 4).

Bu bulgularla hastada koroid osteomu olduğunu düşündük ve hastayı izleme aldık.

## TARTIŞMA

Koroid osteomunun klinik görünümü ve görüntüleme bulguları tipiktir ve diğer oküler tümörlerden kolayca ayrılır. Etyolojisi bilinmemekle birlikte optik sinir ödemiyle



**Şekil 4.**  
BT görünümü

birlikte olan reküren koroidit sonrasında ve reküren orbita inflamatuar psödotümöründen sonra görüldüğü bildirilmiştir<sup>3</sup>.

Tipik olarak sağlıklı genç kadınlarda görülmekte birlikte nadiren erkeklerde, çocuklarda, 30 yaşından büyüklerde de bildirilmiştir<sup>2</sup>. Koroid osteomu olgularının yaklaşık %75'i<sup>1-4</sup> bilateraldir ancak kantitatif BT'de klinik olarak unilateral olguların % 90'ında diğer gözde okkült osteom saptandığı belirtilmiştir<sup>5</sup>. Tanıda FFA, BT, USG, manyetik rezonans görüntüleme yararlıdır. Ayrıca indocyanine anjiografi ve optik koherens tomografiden de yararlanılabilir<sup>6-7</sup>. Ayırıcı tanıda kalsifiye olmayan lezyonlardan; amelanotik koroid melanomu, amelanotik koroid nevüs, skatrisyel maküler dejenerasyon, metastatik karsinom, koroid hemangiomyo, posterior sklerit, kalsifiye lezyonlardan ise; metastatik kalsifikasyon, distrofik kalsifikasyon ve idiopatik sklerokoroidal kalsifikasyon düşünülmelidir<sup>2-3</sup>.

Hastalar, asemptomatik olabileceği gibi, görmede azalma, metamorfopsi, skotomdan yakınırlar. Görmede azalma retina pigment epitelî ve sensör retina dejenerasyonuna veya koroid neovaskülarizasyonuna bağlı gelişir<sup>3</sup>. CNV, olguların yaklaşık 1/3'ünde gelişir ve avasküler zonun dışında ise laser fotoagülasyon yapılır<sup>2-3</sup>. Koroid osteomunda uygulanabilen tek tedavi CNV'na yönelikir. Koroid osteomunun kendisinin gelişimi ya da

ilerlemesine yönelik tedavi yoktur. Görme прогнозu değişkendir. Hastaların %80'inde görme keskinliği ilk muayenede 20/30 ve üzerinde, %10'unda 20/200 ve altındadır<sup>3</sup>. Spontan reabsorpsiyon ve dekalsifikasyon olan olgular bildirilmiştir<sup>8-9</sup>.

Tümörün genişlemesi ve özellikle CNV gelişimi açısından hastalar izlenmelidir.

## KAYNAKLAR

1. Grand MG, Burgess DB, Singerman LJ, Ramsey J. Choroidal osteoma: treatment of associated subretinal neovascular membranes. Retina 1984;4:84-89
2. Kadrimas EF, Weiter JJ. Choroidal osteoma. Int Ophthalmol Clin 1997;37:171-182
3. Sharma S, Brown GC, Shields GC. Choroidal osteoma. In Ryan SJ, ed. Retina. St. Louis: Mosby, 2001:817-822
4. Shields CL, Shields JA, Augsburger JJ. Choroidal osteoma. Surv Ophtalmol 1988;33:17-27
5. Jokl DHK, Tsai N, Kreps S. Detection of choroidal calcium by computed tomography scan quantitative computerized tomography. Ophtalmology 1999;106: 1841-1846
6. Lafaut BA, Mestdagh C, Kohno T, Gaudric A, Laey JJD. Indocyanine green angiography in choroidal osteoma. Graefe's Arch Clin Exp Ophtalmol 1997; 235:330-337
7. Ide T, Ohguro N, Hayashi A, Yamamoto S, Nakagava Y, Nagae Y, Tano Y. Optical coherence tomography patterns of choroidal osteoma. Am J Ophtalmol 2000;130:131-134
8. Buettner H. Spontaneous involution of a choroidal osteoma. Arch Ophtalmol 1990; 108:1517-1518
9. Trimble SN, Schatz H. Decalcification of a choroidal osteoma. Br J Ophtalmol 1991;75:61-63